

Список литературы

- [1] Баскин Л.М., Контоников А.А., Фурсей Г.Н., Широчин Л.А. // ДАН СССР. 1987. Т. 296. № 6. С. 1352.
- [2] Контоников А.А., Радченко И.Н., Фурсей Г.Н., Широчин Л.А. // Письма в ЖТФ. 1986. Т. 12. № 9. С. 516–519.
- [3] Ната К., Ohya R., Hishigaki S., Tamura H., Noda T. // Japan. J. of Appl. Phys. 1987. V. 26. N 6. P. L896–L898.
- [4] Ананьев Л.Л., Богатский М.М., Борисов Д.А., Контоников А.А., Фурсей Г.Н. // ПТЭ. 1983. № 5. С. 165–168.
- [5] Tonks L. // Phys. Rev. 1935. V. 48 ab. P. 512–568.

Поступило в Редакцию
15 марта 1989 г.
В окончательной редакции
10 июня 1989 г.

Письма в ЖТФ, том 15, вып. 23 12 декабря 1989 г.
06.2; 06.3; 07

ПРОСТРАНСТВЕННАЯ ПЕРЕСТРОЙКА ХАРАКТЕРА
ОПТИЧЕСКОГО ПЕРЕКЛЮЧЕНИЯ
В БИСТАБИЛЬНОМ ПОЛУПРОВОДНИКОВОМ ИНТЕРФЕРОМЕТРЕ

А.В. Григорьянц, И.Н. Дюжиков

В поведении чисто оптических бистабильных систем значительную роль играют поперечные пространственные эффекты, связанные с дифракцией и самофокусировкой излучения, либо с диффузией в нелинейной среде [1]. В случае безрезонаторных систем с дисперсионной нелинейностью поперечные эффекты непосредственно используются для получения бистабильной характеристики. Причем, в зависимости от знака оптической нелинейности и конфигурации системы можно получить характеристику с различным направлением прямого (и соответственно обратного) переключения, т.е. с различными направлениями обхода гистерезисной петли [2], позволяющими реализовать логические операции „да“ или „нет“ над двумя оптическими сигналами [3].

В резонаторных системах поперечные эффекты проявляются в существовании волн переключения и гистерезиса профиля выходного пучка [4–7]. Здесь пространственные эффекты не являются при-

ной возникновения бистабильности, однако и в этом случае нелокальность оптической нелинейности существенно влияет на выходную характеристику. В работе [8] теоретически показано, что благодаря диффузии в нелинейном полупроводниковом интерферометре характер оптического гистерезиса в различных частях поперечного сечения прошедшего лазерного пучка может отличаться качественным образом вплоть до изменения направления переключения на противоположное. В настоящей работе сообщается об экспериментальном наблюдении этого эффекта при бистабильном переключении в различных порядках интерференции, а также при возникновении макколловских осцилляций [9].

В качестве объекта исследования использовался интерферометр из $InSb$, возбуждаемый излучением перестраиваемого СО-лазера с длиной волны $\lambda = 5.6$ мкм, отвечающей краю запрещенной зоны $InSb$ при $T = 80$ К. Известно, что в такой системе реализуется оптическая бистабильность, вызываемая дисперсионной нелинейностью, связанной с фотогенерацией электронно-дырочных пар [10]. Поперечные эффекты здесь вызываются преимущественно диффузией носителей тока [8, 11].

Лазерный пучок фокусировался на переднюю грань образца в пятно диаметром ~ 400 мкм, задняя грань имела глухое отражающее покрытие из золота. Толщина образца составляла 525 мкм. Интенсивность входного излучения I_0 модулировалась механическим прерывателем по трапециевидному закону. Изменение во времени интенсивности отраженного сигнала I_R регистрировалось фотосопротивлением $Ge : Au$. Исследование поведения отраженного сигнала в различных частях поперечного сечения расфокусированного лазерного пучка проводилось с помощью изменения угловой юстировки пучка относительно чувствительной площадки фотоприемника.

На рис. 1 представлены осциллограммы импульсов отраженного излучения, полученные в различных частях пучка и соответствующий им примерный характер оптического гистерезиса $I_R(I_0)$. В приосевой части пучка (рис. 1, а) характер прямого и обратного переключения аналогичен наблюдаемому при полной фокусировке отраженного пучка на фотоприемник. Осциллограммы в-д на рис. 1 получены при последовательном смещении фотоприемника к периферии пучка. При этом вначале наблюдается уменьшение амплитуды скачка I_R при обратном переключении вплоть до его полного исчезновения (рис. 1, в). Затем направление обратного переключения меняется на противоположное, т.е. реализуется предсказанный в [8] гистерезис типа „бабочки“ с пересекающимися устойчивыми ветвями, в котором прямое и обратное переключение происходят в сторону падения I_R (рис. 1, г). На краю пучка (рис. 1, д) наблюдается „перевернутый“ гистерезис [8, 12], у которого и прямое и обратное переключение имеют противоположное направление по отношению к интегральной по сечению пучка характеристике – прямое переключение направлено в сторону повышения I_R , а обратное в сторону понижения.

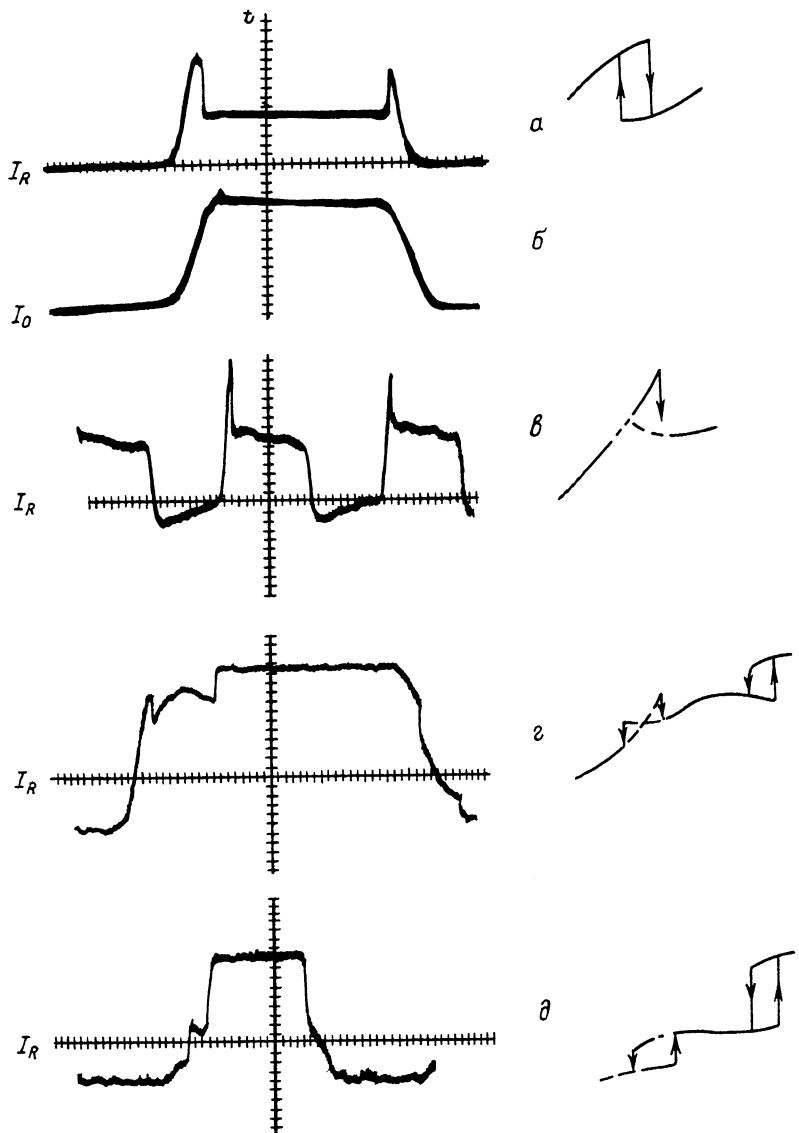
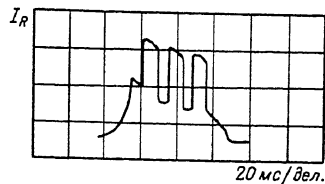


Рис. 1. Осциллограммы импульсов отраженного излучения, полученные в различных частях пучка, и соответствующий им примерный характер гистерезиса I_R (I_o): а - отвечает приосевой части пучка; осциллограммы в-д получены при последовательном смещении к периферии пучка; б - форма входного импульса. I_o в случаях г, д больше, чем для а, в.

Рис. 2. Осциллограмма автоколебаний I_R , полученная для периферийной части пучка. Начальная фаза автоколебаний соответствует „перевернутому“ переключению.



Описанные выше режимы были получены численно [8] для переключения в одном порядке интерференции. На рис. 1,г,д интенсивность I_o достаточна для наблюдения переключения в двух последовательных порядках интерференции. При этом в выбранной части пучка характер переключения в первом и втором порядках может различаться. На рис. 1,г в первом порядке реализуется гистерезис типа „бабочки“, а во втором – „перевернутый“ гистерезис. На краю пучка (рис. 1,д) в первом и втором порядках получен одинаковый „перевернутый“ характер оптического переключения.

Изменение характера бистабильности в $InSb$ и других полупроводниках (гистерезис типа „бабочки“, „перевернутый“ гистерезис, различное направление переключения в разных порядках интерференции) может наблюдаться также и для интегральной по пучку характеристики за счет комбинации нелинейной дисперсии и растущего поглощения [13–15]. В $InSb$ растущее поглощение обусловлено температурным сдвигом края запрещенной зоны [14]. Для выяснения влияния нелинейного поглощения длительность импульсов I_o выбиралась как большей, так и меньшей характерного теплового времени образца $\tau_t = 1.1$ мс, которое оценивалось теоретически в соответствии с [13]. При этом не зарегистрировано изменения характера локального переключения. При полной фокусировке отраженного пучка на фотоприемник (независимо от длительности импульса I_o) характер переключения соответствовал рис. 1,а. Таким образом, полученные характеристики обусловлены лишь пространственными эффектами и не связаны с нагревом образца.

При нагреве излучением в $InSb$ наблюдается также изменение показателя преломления, противоположное по знаку электронному вкладу, благодаря чему могут возникать макколловские автоколебания интенсивности выходного излучения [9, 16]. Такие автоколебания наблюдались нами при определенных условиях теплоотвода от образца и достаточной длительности импульсов I_o (40–50 мс). На рис. 2 показана форма автоколебаний I_R , полученная в периферийной области пучка. Как видно из рисунка, первое переключение при возникновении автоколебаний имеет „перевернутое“ направление – наблюдается увеличение I_R вместо его падения в случае интегральной характеристики [16]. То есть форма автоколебаний в различных частях пучка может различаться подобно характеру гистерезиса.

Таким образом, в данной работе экспериментально обнаружено предсказанное в [8] качественное изменение характера оптического переключения в различных частях поперечного сечения лазерного

пучка. Полученное изменение направления переключения позволяет одновременно реализовать над двумя оптическими сигналами логические операции „да” и „нет” в разных частях пучка. Показано, что в заданной части пучка характер переключения в различных порядках интерференции может различаться. То есть переход от одной логической операции (например, „нет”) к другой („да”) может быть выполнен с помощью изменения уровня поддерживающей входной интенсивности. В случае конкурирующих нелинейностей экспериментально продемонстрирована возможность управления начальной фазой автоколебаний с помощью пространственных эффектов.

С п и с о к л и т е р а т у р ы

- [1] Гиббс Х.М. Оптическая бистабильность. М., Мир, 1988. 518 с.
- [2] Lee Berre M., Ressayre E., Tallet A., Tai K., Gibbs H.M. // IEEE J. Quantum Electron. 1985. V. QE-21. N 9. P. 1404-1418.
- [3] Walker A.C. // Appl. Opt. 1986. V. 25. N 10. P. 1578-1585.
- [4] Розанов Н.Н. // ЖЭТФ. 1981. Т. 80. № 1. С. 96-108.
- [5] Григорьянц А.В., Голик Л.Л., Елинсон М.И., Балкарэ Ю.И. // Квантовая электроника. 1983. Т. 10. № 8. С. 1714-1716.
- [6] Апанасевич С.П., Карпушко Ф.В., Синицын Г.В. // Квантовая электроника. 1985. Т. 12. № 2. С. 387-390.
- [7] Григорьянц А.В., Голик Л.Л., Ржанов Ю.А., Балкарэ Ю.И., Елинсон М.И. // Квантовая электроника. 1987. Т. 14. № 6. С. 1247-1254.
- [8] Firth W.J., Galbraith I. // IEEE J. Quantum Electron. 1985. V. QE-21. № 9. P. 1399-1403.
- [9] McCaill S.L. // Appl. Phys. Lett. 1978. V. 32. N 5. P. 284-286.
- [10] Miller D.A.B., Smith S.D., Johnstone A. // Appl. Phys. Lett. 1979. V. 35. N 9. P. 658-660.
- [11] Hagan D.J., MacKenzie H.A., Reid J.J.E., Walker A.C., Toolley F.A.P. // Appl. Phys. Lett. 1985. V. 47. N 3. P. 203-205.
- [12] Poole C.D., Garmire E. // IEEE J. Quantum Electron. V. QE-21. N 9. P. 1370-1378.
- [13] Haito J., Janossy L. // Phil. Mag. B. 1983. V. 47. N 4. P. 347-366.
- [14] Herrrett B.S., Toolley F.A.P., Smith S.D. // Opt. Comm. 1984. V. 52. N 4. P. 301-306.

- [15] Григорьянц А.В., Ржанов Ю.А., Балка-
рэй Ю.И. // Письма в ЖТФ. 1987. Т. 13. В. 23.
С. 1465-1471.
- [16] MacKenzie H.A., Reid J.J.E., Al-
Attar H.A., Abraham E. // Opt. Comm.
1986. V. 60. N 3. P. 181-186.

Институт радиотехники
и электроники АН СССР,
Москва

Поступило в Редакцию
12 июня 1989 г.

Письма в ЖТФ, том 15, вып. 23

12 декабря 1989 г.

06.3

ТЕМПЕРАТУРНАЯ ЧУВСТВИТЕЛЬНОСТЬ
ВОЛОКОННОГО ИНТЕРФЕРОМЕТРА
НА ОСНОВЕ ДВУХКАНАЛЬНОГО СВЕТОВОДА

Э.А. Захидов, М.А. Касымджанов,
В.В. Пан

Волоконно-оптические интерферометры на основе одномодовых световодов имеют высокую чувствительность к различным физическим полям. Но случайная модуляция фазы и поляризации излучения в световоде, обусловленная другими внешними возмущениями, может существенно (на несколько порядков) снизить реальные чувствительности датчиков на основе подобных интерферометров [1]. Двухканальный одномодовый волоконный световод (ДОВС) позволяет в значительной степени избавляться от подобных шумов при использовании двух световедущих каналов в качестве двух "плеч" интерферометра [2]. К преимуществам ДОВС следует отнести также возможность контроля состояния поляризации излучения в каналах путем управления оптической анизотропией в них за счет изменения параметров световода.

Данная работа посвящена исследованию температурной чувствительности фазы (ТЧФ) излучения в ДОВС с целью определения физических причин дифференциального воздействия температурного поля на фазы излучения в каналах и возможности использования данного устройства в качестве датчика температуры. Был исследован световод на основе плавленого кварца, легированного двуокисью германия ($\approx 4\%$), с двумя световедущими каналами (рис. 1,а) с диаметрами $2\rho = 6$ мкм, расстоянием между ними 24 мкм и длиной волны отсечки $\lambda_c = 0.63$ мкм. В качестве источника излучения использовался гелий-неоновый лазер ($\lambda = 0.63$ и 1.15 мкм).

Рассмотрим возможные механизмы ТЧФ излучения в ДОВС. Абсолютная ТЧФ излучения в световоде на основе плавленого кварца зависит от λ и составляет на $\lambda = 0.6$ мкм